



صرف خاکی نانو کایتوزان بر خصوصیات رویشی و فیزیولوژیکی گیاه خارمریم (*Silybum marianum*) تحت تنش شوری

سارا صفی خانی^۱- کورس خوشبخت^{۲*}- محمد رضا چایی چی^۳- عباس امینی^۴- بابک متشرع زاده^۵

تاریخ دریافت: ۱۳۹۶/۰۶/۱۵

تاریخ پذیرش: ۱۳۹۶/۱۲/۱۹

چکیده

تشن شوری از عوامل مؤثر و مخرب در رشد گیاه و فعالیت‌های فیزیولوژیک آن محسوب می‌شود. به منظور توسعه کشت محصولات زراعی در مناطق شور، کاربرد تحریک‌کننده‌های زیستی همچون کایتوزان که قادر به کاهش اثرات مخرب تشش شوری باشند اهمیت زیادی دارد. به منظور بررسی کاربرد نانو کایتوزان روی تعدیل تشش شوری بر صفات رویشی و فیزیولوژیک گیاه دارویی خارمریم، آزمایشی در سال زراعی ۹۶-۹۵ در گلخانه پژوهشی-تحقیقاتی دانشگاه تهران واقع در کرج انجام شد. آزمایش به صورت فاکتوریل در قالب طرح پایه بلوك‌های کامل تصادفی با سه تکرار انجام شد. عامل اول سطوح مختلف شوری (شاهد آب معمولی شهری با شوری ۱/۲)، ۸ و ۱۲ (dSm^{-۱}) و عامل دوم کاربرد سطوح مختلف نانو کایتوزان (صفر (بدون کاربرد)، ۰/۰۱، ۰/۰۵ و ۰/۰ درصد) به صورت خاک مصرف بود. نتایج آزمایش گیاهی از تأثیر معنی دار شوری بر تمام صفات رویشی، فیزیولوژیک و یونی مورد مطالعه در سطح احتمال یک درصد بود. مقایسه میانگین تیمارهای کایتوزان نشان داد بیشترین زیست‌توده کل، شاخص سطح برگ، محتوای رطوبت نسبی، شاخص پایداری غشا سلولی از غلظت ۰/۰ درصد و بیشترین کارایی فتوسیستم II از غلظت ۰/۱ درصد حاصل شد. کاربرد کایتوزان با غلظت ۰/۰ درصد در سطح شوری ۱۲ دسی‌زیمنس بر متر منجر به کاهش ۱۰/۴ درصدی مقدار سدیم شاخساره و کاهش ۱۶/۵ درصدی نسبت سدیم به پتاسیم در شاخساره در مقایسه با عدم کاربرد کایتوزان شد. در شرایط شوری ۴ دسی‌زیمنس بر متر، بالاترین مقدار زیست‌توده کل گیاه از کاربرد ۰/۰ درصد کایتوزان بدست آمد که در مقایسه با عدم کاربرد کایتوزان در همین سطح شوری افزایشی معادل ۲۱/۶ درصد داشت ($P < 0.01$). با توجه به نتایج آزمایش، می‌توان کاربرد نانو کایتوزان با غلظت ۰/۱ درصد را به عنوان یک تعدیل کننده تشش شوری در کشت گیاه خارمریم معرفی نمود.

واژه‌های کلیدی: آب شور، خصوصیات یونی، زیست توده کل، عناصر معدنی، گیاه دارویی، محتوای رطوبت نسبی

مقدمه

که به عنوان یک علف هرز سمح نیز شناخته شده است (Kahn *et al.*, 2009). گیاه خارمریم بومی اقلیم مدیترانه‌ای بوده که در سراسر جهان گسترش یافته است. این گیاه در کناره جاده‌ها و زمین‌های باир و مزارع غلات رشد می‌کند و از آن برای درمان ناراحتی‌های کبدی، چربی خون، دیابت و سرطان استفاده می‌شود. از ترکیبات مهم دانه این گیاه می‌توان به سلیمارین، فلاوونوئیدها (تاكسيفولین)، اسید چرب و پلی‌فلن‌ها اشاره کرد (Ramasamy and Agarwal, 2008).

کشور ایران در منطقه‌ای خشک و نیمه‌خشک واقع شده است و تشش شوری در مناطق خشک و نیمه‌خشک یکی از تنش‌های مهم است که اثرات محدود کننده شدیدی بر رشد و نمو گیاهان می‌گذارد (Koca *et al.*, 2007). تقریباً بیش از نیمی از تمامی آبهای زیرزمینی که در نواحی خشک و نیمه‌خشک برای آبیاری محصولات

خارمریم (*Silybum marianum*) یک گیاه زراعی-دارویی است

۱- دانشجوی دکترای کشاورزی بوم‌شناسی، دانشگاه شهید بهشتی، پژوهشکده علوم محیطی، تهران، ایران

۲- دانشیار، پژوهشکده علوم محیطی، دانشگاه شهید بهشتی، تهران

۳- استاد بازنشسته دانشگاه تهران، پردیس کشاورزی و منابع طبیعی کرج و استاد دانشگاه ایالتی کالیفرنیا

۴- دانشیار، دانشگاه سیدنی غربی

۵- دانشیار، گروه علوم و مهندسی خاک دانشکده مهندسی و فناوری کشاورزی دانشگاه تهران

(Email: kkhoshbakht@yahoo.com
DOI: 10.22067/gsc.v16i2.67288
*)- نویسنده مسئول:

۲۰۱۶). افزایش وزن خشک اندام هوایی و ریشه، جوانه‌زنی، شاخص سطح برگ و میزان کلروفیل نیز در گیاهان ذرت (*Zea mays*) و لوپیا (*Phasaeolus vulgaris L.*) تحت تأثیر کایتوزان گزارش شده است (Amiri et al., 2016). از این ترکیب به صورت بذرمال و محلول پاشی به استفاده شده و در فرآیند مقابله با تنفس‌های زنده و غیر زنده بوده است (Rabea et al., 2003; Hadrami et al., 2003; Geilfus et al., 2010). کاربرد کایتوزان کارابی فتوسیستم II، میزان پراکندگی و توسعه ریشه درخت انگور را تحت تنفس خشکی افزایش داد (Gornik et al., 2008). همچنین محققان گزارش کردند که کایتوزان در پاسخ گیاهان به تنفس‌های محیطی اعم از تنفس خشکی و شوری نقش تعدیل کنندگی ایفا کرد (Dzung et al., 2011; Ruan and Xue, 2002).

در مطالعات دیگری در زمینه کاربرد خاک مصرف کایتوزان تأثیر افزایشی کایتوزان روی جوانه‌زنی، رشد و گلدهی چندین گیاه زینتی (Ohta et al., 2004) و طول ساقه، قطر ساقه، وزن گل و تعداد گل گیاه (*Eustoma grandiforum*) (Ohta et al., 2001) گزارش شده است. تحقیقات دیگر حاکی از آن است که گیاهان تیمار شده با کایتوزان می‌توانند آسیب‌پذیری کمتری نسبت به تنفس‌های ناشی از شرایط نامساعد مانند خشکی و شوری هستند (Jabeen and Ahmad, 2013; Pongprayoon et al., 2013).

در این تحقیق اثر کاربرد خاک مصرف کایتوزان بر تعدیل اثرات مخرب تنفس شوری روی صفات رویشی، فیزیولوژیک و تغییرات یونی گیاه دارویی خارمریم، بررسی شده است.

مواد و روش‌ها

این تحقیق در سال زراعی ۱۳۹۵-۹۶ در گلخانه تحقیقاتی دانشکده کشاورزی و منابع طبیعی دانشگاه تهران در کرج اجرا شد. در این آزمایش، گیاه خارمریم (*Silybum marianum L. Gaertn.*) (Budakalaszi) مجارستانی (Waheed et al., 2006) مورد بررسی قرار گرفت. بذر رقم مجاری از شرکت پاکان بذر اصفهان تهیه شد. بذر مورد استفاده دارای قوه نامیه ۸۰ درصد، خلوص فیزیکی ۹۲ درصد، وزن هزاردانه ۲۰/۴ و رنگ قهوه‌ای تیره مایل به سیاه بود. پس از کشت و استقرار گیاهان (مرحله سه تا چهار برگی)، بوته‌های اضافی تنک شده و در هر گلدان پنج گیاهچه نگهداری شد. آزمایش به صورت فاکتوریل در قالب طرح پایه بلوك‌های کامل تصادفی با سه تکرار انجام شد.

کشت و آماده‌سازی خارمریم

برای انجام این پژوهش ریشه‌دانه‌ایی (Rhizobag) با مش ۶۰ میکرون (Rhizobag) و حجم یک کیلوگرم خاک تهیه شد و در گلدان‌های هشت کیلوگرمی قرار داده شد و به گلخانه با شرایط یکسان در دمای

کشاورزی به کار می‌روند با مشکل شوری مواجه بوده و این امر در شور شدن خاک‌ها و کاهش تولید بسیاری از محصولات کشاورزی نقش دارد (Dorais et al., 2001). این تنفس سبب سخت‌تر شدن خاک و در نتیجه ایجاد مشکل برای جذب آب توسط ریشه‌ها می‌شود. همچنین غلظت‌های بالای نمک در دون گیاه ممکن است اثرات سمی در گیاه داشته باشد (Geilfus et al., 2010).

تنفس شوری بر برخی فرآیندهای متابولیک اصلی از قبیل فتوسنتز، سنتز پروتئین و سوت و ساز چربی‌ها و ATP تأثیرگذار است (Parida and Das, 2005). این نوع تنفس از طریق دو فرآیند اسمزی (کم‌آبی سلولی) و سمتی (تجمع یون‌ها در سلول‌های گیاه)، با اختلال در رشد، تعادل یونی، فتوسنتز و تثبیت نیتروژن، در میان سایر فرآیندهای کلیدی فیزیولوژیک تأثیرگذار است (Parida and Das, 2005).

در مطالعه‌ای روی تأثیر تنفس‌های شوری و خشکی بر خصوصیات جوانه‌زنی بذر خارمریم محققین بیان داشتند که با افزایش تنفس‌های شوری و خشکی، طول و وزن خشک ریشه‌چه و ساقه‌چه کاهش پیدا کرد (Yazdani Buick et al., 2010). نتایج پژوهشی دیگری در خارمریم نشان داد که در مقایسه با گیاهان شاهد، گیاهان در تنفس شوری تا ۳ دسی زیمنس بر متر، شوری را تحمل کردند اما تعداد کاپیتوول در گیاه، قطر کاپیتوول و ساقه اصلی و عملکرد بذر و اجزای عملکرد در شوری‌های بالاتر از ۳ دسی زیمنس بر متر کاهش یافت. مقدار روغن بذر نیز در شوری بالاتر از ۳ دسی زیمنس بر متر اندکی کاهش یافت (Ghavami et al., 2011). نتایج پژوهش دیگر نشان داده است که با تشدید شوری میزان فعالیت آنزیم آلفا آمیلاز و پراکسیداز بذور در روزهای مختلف کاهش یافت به طوری که کمترین میزان صفات اندازه‌گیری شده مربوط به سطح ۲۵۰ میلی‌مولا ر شوری و بیشترین مربوط به شاهد بود (Masomy Zvaryan et al., 2013). در آزمایشی روی لوپیا سودانی (*Cajanus cajan L.*) با اعمال شوری، مشاهده شد که با افزایش سطح شوری، وزن تر ریشه هر سه رقم کاهش یافت (Poljakoff and Lerner, 1994).

استفاده از محرک‌های زیستی یکی از راهکارهای کاهش اثرات مخرب تنفس‌های زیستی و غیرزیستی و افزایش عملکرد و کیفیت محصول است. از ترکیباتی که مکانیسم‌های دفاعی گیاه در برابر تنفس‌ها را القا می‌کنند می‌توان به کایتوزان اشاره کرد (Amiri et al., 2016). کایتوزان از ترکیبات اصلی دیواره بدن سخت‌پوستان تهیه شده و یکی از محرک‌های زیستی است که به منظور کاهش اثرات منفی تنفس‌های غیرزنده اعم از شوری و خشکی و افزایش عملکرد و کیفیت محصول در زمینه کشاورزی کاربرد دارد (Amiri et al., 2010).

منتقل شد.

روزانه ۲۵ تا ۳۰ درجه سانتی گراد و شبانه ۱۸ تا ۲۰ درجه سانتی گراد

جدول ۱- مشخصات فیزیکی و شیمیایی خاک مورد استفاده در گلدانها و ریشه‌دانها
Table 1- Physical and chemical properties of soil filled in pots and rhizobags

بافت خاک (لوم)		نقطه پژمردگی PWP (%)	ظرفیت زراعی Field capacity (F.C.)	نیتروژن کل Total nitrogen (%)	فسفر قابل دسترس Available phosphorous (mg kg^{-1})	پتانسیم قابل دسترس Available potassium (mg kg^{-1})	pH	هدایت الکتریکی Electrical conductivity (EC) dS.m^{-1}	ماده آلی Organic matter (%)	Soil texture (Loam)
ریس سیلت شن (%)	Sand Silt Clay (%)									
34.16	43.34	22.5	0.84	1.70	8.0	151	14.1	0.09	22.40	10.42

بر متر و تیمار شاهد (آب معمول شهری). به منظور حصول اطمینان از ثابت بودن میزان شوری تیمارهای ریشه‌دان در خاک، گلدان‌هایی با عنوان تیمارهای حذفی یا اضافی از ابتدای کاشت برای هر تیمار شوری تعییه شده و با اندازه‌گیری هدایت الکتریکی آنها پس از آبیاری با آب شور، از ثبات EC مورد نظر در تیمار شوری اطمینان حاصل شد. همچنین در طول دوره داشت، به منظور جلوگیری از تجمع بیش از حد نمک در پروفیل ریشه و تنفس زیاد در گیاه دو مرتبه آبیاری با آب مقطر انجام شد. با این روش، علاوه بر اینکه نمک اضافی از زهکش گلدان خارج شد، شوری در طول دوره داشت در سطح مورد نظر ثابت نگهداری می‌شد. رطوبت خاک گلدان‌ها روزانه از طریق توپین و با آبیاری چه با آب شور و چه با آب مقطر، در حد ۰/۸ ظرفیت زراعی مزمعه^۱ FC-۰/۸ در کل دوره داشت به منظور جلوگیری از بروز تنفس خشکی، حفظ شد. مطالعه صفات رویشی، فیزیولوژیک و یونی^۲ روز ۷۲ پس از کاشت، قبل از مرحله گلدهی، در مرحله ۸-۶ برگی انجام شد.

اندازه‌گیری محتوای رطوبت نسبی برگ (RWC)

به منظور اندازه‌گیری آب نسبی برگ، روز بعد کشت بذرها، اقدام به نمونه‌برداری از برگ‌هایی که تازه توسعه خود را کامل کرده بودند، شد. دیسک‌هایی برگ تهیه و وزن تر آن‌ها با ترازوی دقیق دیجیتالی تعیین گردید. این نمونه‌ها به مدت ۱۶ تا ۱۸ ساعت در شدت نور کم داخل آب مقطر قرار داده شدند، سپس وزن نمونه‌های برگی در حالت تورژسانس تعیین شد. نهایتاً نمونه‌ها به مدت ۴۸ ساعت و در دمای ۷۰ درجه سانتی گراد در آون خشک شدند و وزن خشک آن‌ها تعیین شد، سپس با استفاده از معادله ۱ میزان آب نسبی برگ بر حسب درصد محاسبه گردید (Merah, 2001):

۱۲ عدد بذر در هر ریشه‌دان درون گلدان کشت شد، بعد از سبز شدن بذرها، بوتهای ریشه‌دان در طی چند مرحله تنک گردیده و نهایتاً در داخل هر گلدان پنج بوته نگهداری شد. با استفاده از دستگاه صفحات فشاری^۳ و بر اساس روش (Klute, 1986) درصد وزنی رطوبت خاک در پتانسیل‌های مختلف از جمله ظرفیت زراعی (θ_{F.C.}) و نقطه پژمردگی دائم تعیین گردید. حد فاصل درصد جرمی رطوبت در نقطه ظرفیت زراعی و پژمردگی دائم به عنوان رطوبت قابل دسترس خاک^۴ در نظر گرفته شد و آبیاری بر اساس آن از ابتدای کاشت با آب شور انجام شد. مشخصات فیزیکی و شیمیایی خاک مورد استفاده در گلدان‌ها در جدول ۱ آمده است.

تیمارهای آزمایشی

برای کاربرد نانو ماده کایتوزان به صورت خاک مصرف، مقادیر استفاده از آن (تیمارهای آزمایشی) به صورت نسبت‌هایی (درصدی) از مقدار خاک موجود در ریشه‌دان (یک کیلوگرم خاک خشک) مشابه روش (Ohta et al., 2004) اعمال شد. به این منظور مقدار نانو کایتوزان در چهار سطح (بر اساس درصد وزن خشک خاک موجود در ریشه‌دان‌ها) استفاده شد که عبارت بودند از: ۰/۰۱ درصد، ۰/۰۵ درصد و ۰/۱ درصد از یک کیلوگرم خاک خشک موجود در ریشه‌دان و شاهد (بدون استفاده از نانو کایتوزان). نانو کایتوزان از شرکت سیگما آلدريچ با مشخصات (وزن ملکولی بالا، رنگ کرم مایل به سفید، به شکل پودری، اندازه ذرات ۵۰ نانومتر و درجه چسبناکی cps ۸۰۰-۲۰۰۰) تهییه شد.

آب شور از ترکیب نمک NaCl و آب شهری با شوری پایه ۱/۲ دسی زیمنس بر متر تهییه و به شوری‌های تیماری رسانده شد. آبیاری با آب شور در کل دوره داشت و از زمان کاشت بذر انجام شد، تیمارهای آب شور عبارت بودند از: آب شور ۴، ۸ و ۱۲ دسی زیمنس

3- Electrical conductivity

4- Field Capacity

1- Pressure plate

2- Soil available water

اندازه‌گیری سدیم و پتاسیم در ریشه و ساقه

جهت اندازه‌گیری غلظت یون‌های سدیم و پتاسیم در ریشه و اندام هوایی ۷۲ روز پس از کشت گلدان‌ها ریشه‌ها از ریشه‌دان خارج و شستشو داده شدند و به همراه قسمت هوایی بریده شده به مدت ۴۸ تا ۷۳ ساعت در آون ۷۰ درجه سانتی‌گراد قرار داده شدند. پس از خشک شدن و پودر کردن آن‌ها، مقدار ۰/۲ گرم از هر نمونه توزین گردید و در کروزه‌های چینی به مدت ۵ ساعت در کوره تحت دمای ۵۸۰ درجه سانتی‌گراد به خاکستر تبدیل و پس از آن با اضافه کردن ۲۰ میلی‌لیتر اسید کلریدیریک ۲ نرمال و رساندن حجم آن به ۱۰۰ میلی‌لیتر با آب مقطر، از کاغذ صافی عبور داده شد و محلول حاصل با دستگاه فلیم فتومنتر مدل سدیم و پتاسیم بر اساس منحنی‌های استاندارد بر حسب غلظت در میلیون (ppm) تعیین، و سپس با استفاده از معادله ۳ بر حسب درصد ماده خشک محاسبه شد (Kalra, 1998).

$$\text{معادله ۳} \quad \%E = [(C \times D \times V) / 106 \times DM] \times 100$$

که E مقدار عنصر مورد نظر، C غلظت عنصر بر حسب میلی‌گرم بر لیتر، D درجه رقت و حجم نهایی عصاره تهیه شده بر حسب میلی‌لیتر و DM وزن خشک نمونه بر حسب گرم می‌باشد و نهایتاً مقدار عنصر بر حسب میلی‌گرم بر گرم وزن خشک گزارش شد.

اندازه‌گیری زیست توده کل بوته

به منظور مطالعه وزن قسمت‌های هوایی، بوته‌ها کف بر شدند. همچنین به منظور مطالعه زیست توده کل بوته، پس از خارج کردن ریشه‌دان از گلدان‌ها، ریشه‌های موجود در ریشه‌دان‌ها با شستشو خارج شدند به همراه قسمت بالایی گیاه، بعد از خشک کردن در آون با دمای ۷۲ درجه سانتی‌گراد و به مدت ۴۸ ساعت توسط ترازوی چهار صفر توزین شد.

تجزیه آماری

پس از آزمون همگنی واریانس‌ها توسط آزمون بارتلت، محاسبات آماری مربوطه با استفاده از نرم‌افزار SAS نسخه ۹/۱ و مقایسه میانگین‌ها از طریق آزمون حداقل نتفاوت معنی‌دار (LSD) در سطح احتمال پنج درصد صورت گرفت. نمودارها با استفاده از نرم‌افزار Excel ترسیم گردید.

نتایج و بحث

زیست‌توده گیاه

نتایج آزمایش نشان داد که تیمار شوری، کایتوزان و اثر متقابل این دو عامل اثر معنی‌داری در سطح احتمال یک درصد روی

(معادله ۱)

$$\frac{\text{وزن آبلیمه} - \text{وزن خشک}}{(\text{وزن تر} - \text{وزن خشک})} \times 100 = \text{درصد محتوی رطوبت نسبی برگ}$$

اندازه‌گیری شاخص سطح برگ

۷۲ روز پس از کشت زمانی که گیاه در مرحله ۸-۶ برگی و هنوز در مرحله رویشی قرار داشت، سطح برگ توسط دستگاه سطح برگ سنج پرتاپل^۱ (مدل CI-202 CID ساخت شرکت CID آمریکا) و با توجه به سطح گلدان، محاسبه گردید. گیاه خارمیریم در حاشیه برگ‌ها و روی ساقه‌های خود، دارای خارهای ریزی است که مانع اندازه‌گیری سطح برگ نشدند.

اندازه‌گیری شاخص پایداری غشا سلولی

از برگ‌های جوان و کامل توسعه‌یافته دیسک‌هایی به قطر یک سانتی‌متر تهیه و در درون فالکون‌های حاوی ۲۰ میلی‌لیتر آب دی‌یونیزه قرار داده شدند. نمونه‌ها به مدت ۲۴ ساعت در دمای ۴۰ درجه سانتی‌گراد نگهداری گردید، و میزان هدایت الکتریکی (EC1) آن‌ها اندازه‌گیری شد. سپس نمونه‌ها در درون اتوکلاو به مدت ۱۰ دقیقه در دمای ۱۰۰ درجه سانتی‌گراد قرار داده شدند و پس از آنکه دمای آن‌ها به دمای اتاق رسید برای بار دوم میزان هدایت الکتریکی (EC2) آن‌ها ثبت گردید. سپس با بهره‌گیری از معادله ۲ شاخص پایداری غشا (MSI) محاسبه گردید (Sairam et al., 2002).

$$\text{معادله ۲} \quad MSI = 1 - \frac{EC_1}{EC_2} \times 100$$

میزان فلورسانس کلروفیل

میزان فلورسانس برگ‌ها هم‌مان با محتوای رطوبت نسبی، توسط دستگاه قابل حمل فلورومتر (مدل OPTI-SCIENCES OS-30, U.S.A.) مورد سنجش واقع شد. انتشار فلورسانس از قسمت رویی برگ‌ها مدنظر قرار گرفت. بدین منظور، ابتدا برگ‌های هدف از طریق الصاق گیره‌های مخصوص به مدت یک ساعت در شرایط تاریکی قرار گرفتند و به شرایط تاریکی سازگار شدند. در ادامه تابش پالس ضعیف و نور سفید اشیاع توسط دستگاه منجر به برآورده فلورسانس اولیه (F₀) و بیشینه گردی (F_o) (Krause and Weis, 1991) فلورسانس متغیر (F_v) با کسر F₀ از F_m محاسبه شد. نسبت فلورسانس متغیر به بیشینه (F_v/F_m) برآورده از کارایی جذب انرژی برانگیخته توسط مولکول‌های کلروفیل a واقع در مرکز واکنش فتوسیستم II را به دست داد که نمایانگر حداکثر عملکرد کوانتومی PSII می‌باشد (Rizza et al., 2001).

کاربرد مقدار ۰/۰۱ درصد نانو کایتوزان نسبت به خاک خشک حاصل شد که افزایش معنی داری معادل ۲۱/۶ درصد را نسبت به عدم کاربرد نانو کایتوزان (شاهد) در همین سطح شوری نشان داد (شکل ۱). این پدیده مبین آن است که کاربرد سطوح بالاتر نانو کایتوزان (۰/۱ و ۰/۰۵ درصد) امتیاز خاصی را نسبت به سطوح پایین آن ایجاد ننموده است. به نظر می رسد کاربرد نانو کایتوزان تنش ناشی از کم آبی که از تأثیرات ثانویه تنش خشکی است را جبران نموده است.

زیست توده کل گیاه داشت (جدول ۲). با افزایش مقدار شوری آب آبیاری، مقدار زیست توده کاهش یافت. بیشترین زیست توده گیاه (۱/۹۲ گرم) در تیمار شاهد آبیاری و کاربرد ۰/۰۵ درصد کایتوزان به دست آمد. در سطوح مختلف شوری آب، کاربرد نانو کایتوزان به طور معنی داری نسبت به شاهد (بدون نانو کایتوزان) توانست مقدار تولید زیست توده کل را افزایش دهد. در شرایط تنش شوری ۴ دسی زیمنس بر متر، بالاترین مقدار زیست توده گیاهی (۱/۷۶ گرم) از

جدول ۲- تجزیه واریانس صفات رویشی و فیزیولوژیک در گیاه خارمریم
Table 2- Analysis of variance of growth and physiologic traits in milk thistle

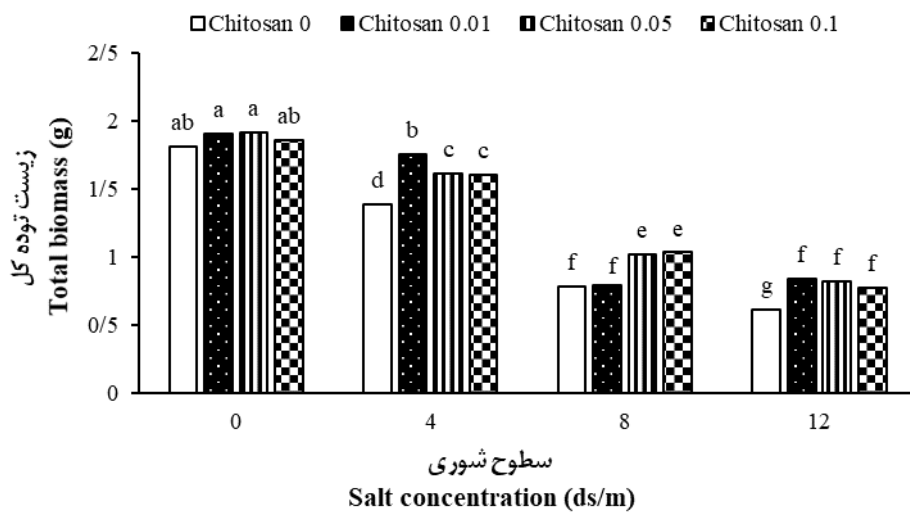
منابع تغییرات S.O.V.	درجه آزادی d.f.	زیست توده کل Total biomass	شاخص سطح برگ Leaf area index	محتوای رطوبت نسبی Relative water content	شاخص پایداری غشا سلولی Membrane stability index	کارایی فتوسیستم II Fv/Fm
تکرار Block	2	0.0029	0.0973	5.5493	16.8679	0.0002
تش شوری Salt stress	3	3.4438**	9.2690**	421.8565**	603.0235**	0.0313**
کایتوزن Chitosan	3	0.0987**	0.8660**	10.1567**	63.2517**	0.0009**
تش شوری × کایتوزن Salt × Chitosan	9	0.0233**	0.3710**	1.8720	4.2849	0.0002
خطا Error	30	0.0051	0.1015	1.7673	7.9174	0.0002
ضریب تغییرات C.V. (%)	-	5.56	11.61	1.70	5.08	1.85

* و **: معنی داری در سطح احتمال پنج درصد و یک درصد

*and **: Significant at 5% and 1% probability levels.

به ترتیبو فان افزایش دهد (Uthairatanakij *et al.*, 2007) گزارشاتی مبنی بر بهبود مقاومت گیاهان به تنش شوری در اثر کاربرد کایتوزان روی گیاهان گلنگ (*Carthamus tinctorius L.*) و آفتابگردان (*Helianthus annuus L.*) (Jabeen and Ahmad, 2013) وجود دارد که هنوز مکانیزم دقیق نحوه ایجاد مقاومت در آنها بیان نشده است. افزایش کارایی مصرف آب به میزان ۴۳-۲۶٪ بدون کاهش زیست توده گیاهی تحت تأثیر کاربرد کایتوزان در گیاه *Piper nigrum L.* (Bittelli *et al.*, 2001) در نتیجه مطابق پژوهش حاضر، محققین دیگری روی گیاه (*Abelmoschus esculentum L.*) (Mondal *et al.*, 2012) و باقلا (*Vicia faba L.*) (Sheikh and Almalki, 2009) و گلنگ (Amiri *et al.*, 2016) به این نتیجه رسیدند که افزایش مصرف کایتوزان باعث افزایش در عملکرد می شود.

در مطالعه کاربرد خاک مصرف کایتوزان بر جوانه زنی، رشد و گلدهی چندین گیاه زینتی، گزارش شد که عملکرد کل، وزن تر و خشک گیاه، سرعت و میزان جوانه زنی و سطح برگ در تیمار کاربرد خاک مصرف کایتوزان افزایش یافته است (Ohta *et al.*, 2004). در آزمایشی روی ذرت به این نتیجه رسیدند که کاربرد کایتوزان رشد و عملکرد را به ترتیب ۲۱ و ۱۷ درصد افزایش داد (Guan *et al.*, 2009). شایان ذکر است افزایش تحریک کنندگی رشد و افزایش عملکرد با کاربرد کایتوزان توسط بسیاری از محققین گزارش شده است (Amiri *et al.*, 2016; Mondal *et al.*, 2012). این در حالی است که تا به حال سازو کار عمل کایتوزان روی رشد ناشناخته باقی مانده است. احتمالاً کایتوزان سیگنالی را برای سنتز هورمون های گیاهی مانند جیرلین القا کند و رشد و نمو گیاه را توسط برخی مسیرهای سیگنالینگ مربوط به بیوسنتر اکسین، از طریق مسیر وابسته



شکل ۱- بر همکنش تاثیر تنش شوری و کاربرد نانو کایتوzan بر صفت زیست‌توده کل در گیاه خارمریم

اعداد با حروف متفاوت در هر ستون دارای اختلاف معنی‌دار در سطح احتمال پنج درصد بر اساس آزمون LSD می‌باشند.

Figure 1- Interaction of salinity stress and chitosan application on total biomass in milk thistle
Different letters indicate significant difference at $p \leq 0.05$ based on LSD test.

جدول ۳- مقایسه میانگین صفات رویشی و فیزیوپیزیک خارمریم تحت تأثیر تنش شوری و نانو کایتوzan

Table 3- Vegetative and physiologic traits of Milk thistle affected by salt stress and Chitosan

تیمارها Treatments	شاخص پایداری غشا سلولی Relative water content (%)	محظوظی رطوبت نسبی Membrane stability index (%)	کارآبی فتوسیستم II Fv/Fm	
			Salt stress تنش شوری	کایتوzan
0 dS m ⁻¹	83.120	62.730	0.826	
4 dS m ⁻¹	82.190	59.100	0.818	
8 dS m ⁻¹	76.710	53.200	0.759	
12 dS m ⁻¹	70.260	46.540	0.719	
Chitosan				
0 (Control)	77.230	53.120	0.772	
0.01 %	78.260	56.590	0.793	
0.05 %	79.290	58.010	0.782	
0.1 %	77.510	53.860	0.775	
LSD	1.108	2.346	0.012	

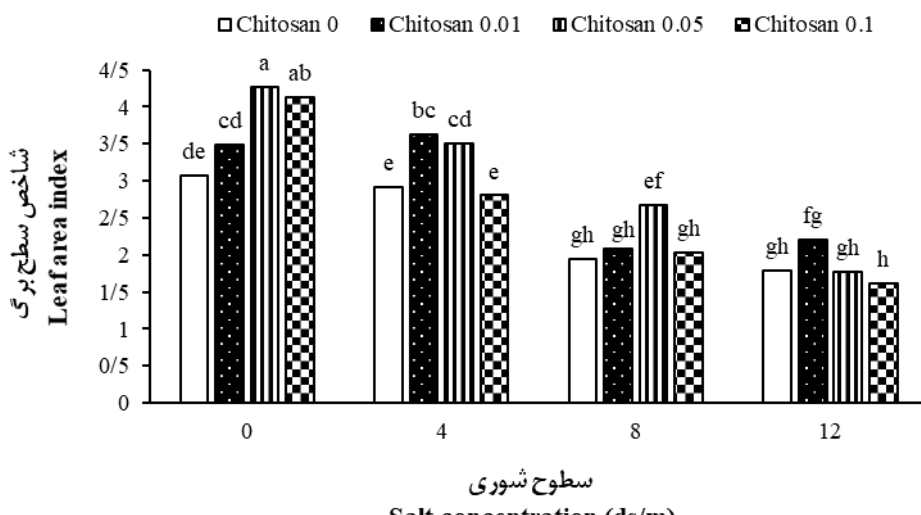
اعداد با حروف متفاوت در هر ستون دارای اختلاف معنی‌دار در سطح احتمال پنج درصد بر اساس آزمون LSD می‌باشند.

Different letters indicate significant difference at $p \leq 0.05$ based on LSD test.

شوری شدید (۱۲ دسی زیمنس بر متر) استفاده از کایتوzan در سطح ۰/۰ درصد اگرچه به لحاظ عددی مقدار شاخص سطح برگ را افزایش داد اما تفاوت معنی‌داری نسبت به شاهد بدون کایتوzan نشان نداد (شکل ۲). به نظر می‌رسد که وقتی تنش شوری به بیش از ۸ دسی زیمنس بر متر افزایش می‌یابد، کاربرد نانو کایتوzan نمی‌تواند عامل مؤثری در تعدیل اثرات منفی آن بر خصوصیات رویشی گیاه خارمریم باشد.

شاخص سطح برگ (LAI)

تأثیر شوری، کاربرد کایتوzan و همچنین اثر مشابل این دو عامل اثر معنی‌داری در سطح احتمال یک درصد روی صفت شاخص سطح برگ داشت (جدول ۲). استفاده از نانو کایتوzan به طور کلی در تمامی سطوح آبیاری شاهد (بدون شوری) و تنش شوری موجب افزایش شاخص نسبت سطح برگ در مقایسه با شاهد (بدون کاربرد نانو کایتوzan) شد. کاربرد مقدار ۰/۰۵ درصد نانو کایتوzan اثر خود را به خوبی در افزایش نسبت سطح برگ در تمام سطوح آبیاری اعم از شاهد (بدون شوری) و تیمارهای آب شور نشان داد. در تیمار تنش



شکل ۲- بر همکنش تأثیر تنش شوری و کاربرد نانو کایتوزان بر صفت شاخص سطح برگ در گیاه خارمریم
اعداد با حروف متفاوت در هر ستون دارای اختلاف معنی دار در احتمال پنج درصد بر اساس آزمون LSD می باشد.

Figure 2- Interaction of salinity stress and chitosan application on leaf area index in milk thistle
Different letters indicate significant difference at $p \leq 0.05$ based on LSD test.

افزایش دهد. زیرا افزایش محتوی رطوبت نسبی شرایط مساعد برای فتوستتر و نیز تقسیم و توسعه سلولی برگ را فراهم می کند که باعث تولید بیشتر مواد فتوستتری و در نتیجه افزایش رشد گیاه می گردد (Aghighi shahroodi *et al.*, 2017).

شاخص پایداری غشا سلولی (index)

تنش شوری اثر معنی داری در سطح احتمال یک درصد روی شاخص پایداری غشا سلولی داشت (جدول ۲). با افزایش تنش شوری، شاخص پایداری غشا سلولی به طور معنی داری از یک روند کاهشی پیروی نمود به طوری که حداقل این شاخص در تیمار ۱۲ دسی زیمنس بر متر به مقدار ۴۶/۵۴ درصد مشاهده شد که بیانگر اثرات تخریبی شدید تنش شوری در گیاه در این تیمار می باشد. کاربرد کایتوزان اثر معنی داری روی شاخص پایداری غشا سلولی داشت (جدول ۲). با افزایش مقدار مصرف نانو کایتوزان شاخص پایداری غشا سلولی از روند خاصی پیروی نکرد ولی بیشترین شاخص پایداری در تیمارهای ۰/۰۵ و ۰/۰۱ درصد مصرف نانو کایتوزان مشاهده شد (جدول ۳).

کارایی فتوسیستم II (Fv/Fm)

کارایی فتوسیستم II در سطح احتمال یک درصد تحت تأثیر تنش شوری قرار گرفت (جدول ۲). بر اساس نتایج بدست آمده، با افزایش تنش شوری کارایی فتوسیستم فقط در تنش های متوسط و شدید

محتوای رطوبت نسبی (RWC)

شوری اثر معنی داری در سطح احتمال یک درصد روی محتوای رطوبت نسبی برگ داشت (جدول ۲). با افزایش تنش شوری، محتوی رطوبت نسبی برگ از یک روند کاهشی پیروی نمود، به طوری که کمترین محتوی رطوبت نسبی برگ در تیمار شوری ۱۲ دسی زیمنس بر متر (۷۰/۲۶ درصد) مشاهده شد که نسبت به تیمار آبیاری شاهد (بدون شوری) کاهشی معادل ۱۵/۵۰ درصد را نشان داد. کاربرد کایتوزان اثر معنی داری در سطح احتمال یک درصد روی محتوای رطوبت نسبی برگ داشت (جدول ۲). کاربرد کایتوزان با غلظت ۰/۰۵ درصد موجب شد محتوی رطوبت نسبی به بیشینه مقدار خود (۷۹/۲۹ درصد) برسد که نسبت به شاهد (بدون کاربرد نانو کایتوزان) افزایش معنی دار تقریبی معادل ۳ درصد را نشان داد (جدول ۳). در بررسی تأثیر غلظت های مختلف کایتوزان بر جوانه زنی و رشد گیاهچه گندم در شرایط تنش خشکی، گزارش شده است که افزایش غلظت کایتوزان منجر به افزایش درصد آب بافت گیاهچه شد (Wei *et al.*, 2007). گرچه از لحاظ آماری اختلاف معنی داری بین تیمارهای مختلف نانو کایتوزان به لحاظ پتانسیل اسمزی وجود نداشت ولی می توان اظهار داشت که با کاربرد کایتوزان، پتانسیل اسمزی نسبت به شاهد افزایش یافت و بافت های گیاهی دارای درصد آب بافت گیاهچه ای بیشتری بود (Taghipour and Maghsuddi, 2015). با توجه به اینکه بالا بودن محتوای نسبی آب، توانایی گیاهان را برای تنظیم اسمزی و حفظ رشدشان را نشان می دهد، به نظر می رسد که کایتوزان با افزایش محتوای نسبی آب توانسته رشد گیاه خارمریم را

(Fv/Fm) گیاهان گزارش شده که در صورت تداوم دوره تنفس خشکی با افزایش مقدار تولید کوانتوم می‌توان خسارت واردہ به فتوسیستم II را کاهش داد (Mahdavi *et al.*, 2013). بنابراین به نظر می‌رسد که نانو کایتوزان در شرایط تنفس با حفظ نسبت Fv/Fm، اثرات مخرب تنفس را بر کارایی فتوسیستم II کاهش می‌دهد.

مقدار یون سدیم در شاخصاره

اثر شوری در سطح احتمال یک درصد و اثر متقابل شوری و کاربرد چیتوسان در سطح احتمال پنج درصد اثر معنی‌داری روی سدیم شاخصاره گیاه خارمریم داشت (جدول ۴). کاربرد نانو کایتوزان در سطوح تیمارهای آب شور موجب کاهش معنی‌دار مقدار سدیم شاخصاره نسبت به شاهد (بدون نانو کایتوزان) شد. که این اثرات بهویژه در سطح ۰/۰۱ درصد کاربرد نانو کایتوزان برای تیمار ۴ بهویژه در سطح ۰/۰۵ درصد آن در سطح ۰/۰۵ در تیمار ۱۲ دسی‌زیمنس بر متر قابل مشاهده بود. همچنین به نظر می‌رسد که استفاده از این ماده در سطح شوری بالای ۸ دسی‌زیمنس (شوری‌های شدید) به خوبی می‌تواند مقدار سدیم موجود در شاخصاره را کاهش دهد، به طوری که کاربرد ۰/۰۵ درصد نانو کایتوزان در تیمار ۱۲ دسی‌زیمنس بر متر موجب کاهش این عنصر نسبت به تیمار شاهد در گیاه شد (شکل ۳).

نسبت به شاهد کاهش معنی‌داری را نشان داد. شایان ذکر است که کمترین مقدار این شاخص در تیمار ۱۲ دسی‌زیمنس بر متر مشاهده شد (۰/۷۱۹)، که به طور معنی‌داری نسبت به شاهد (بدون تنفس شوری) کاهش نشان داد. کاربرد کایتوزان نیز در سطح احتمال یک درصد اثر معنی‌داری روی کارایی فتوسیستم II داشت (جدول ۲). با مصرف کایتوزان شاخص کارایی فتوسیستم II از روند خاصی پیروی نکرد، در حالی که بالاترین مقدار آن (۰/۷۹۳) در کاربرد ۰/۰ درصد نانو کایتوزان مشاهده شد (جدول ۳).

حقوقان در بررسی اثر کایتوزان بر رشد و خصوصیات بیوشیمیایی گلرنگ در شرایط تنفس کم‌آبی گزارش کردند که در شرایط بدون تنفس اختلاف معنی‌داری بین غلظت‌های مختلف کایتوزان با شاهد برای کارایی فتوسیستم II مشاهده نشد. همچنین کارایی فتوسیستم II (Fv/Fm) و فلورسانس (FM)، در شرایط تنفس کم‌آبی کاهش یافتد (Mahdavi *et al.*, 2013). واکنش گیاهان به دامنه وسیعی از تنفس‌های زیستی، شیمیایی و محیطی به وسیله تعییرات فلورسانس کلروفیل قبل از زیبایی است به طوری که کاهش نسبت Fv/Fm توسط حقوقان دیگر هم در شرایط تنفس آبی گزارش شده است (Miyashita *et al.*, 2005). مقدار Fv/Fm برگ در هر گیاه نشان‌دهنده کارایی شیمیایی فتوسیستم II در فتوستنتر است، این کارایی به شدت تحت تأثیر تنفس‌های خشکی و به دنبال آن شوری قرار گرفته و با کاهش رطوبت قبل دسترس برای گیاه، این نسبت کاهش می‌یابد که باعث بازدارندگی فتوستنتر نیز می‌شود. در تعدادی از

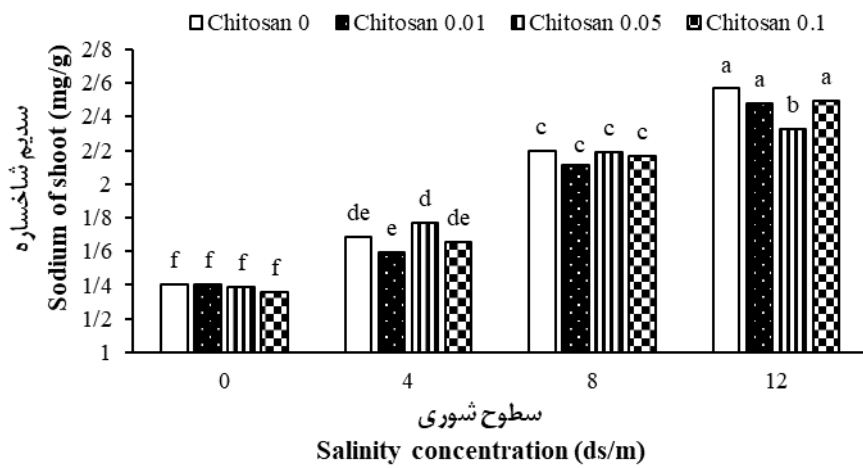
جدول ۴- تجزیه واریانس صفات مربوط به غلظت یون‌ها در گیاه خارمریم

Table 4- Analysis of variance of ionic traits in milk thistle

منابع تغییرات S.O.V.	درجه آزادی d.f	یون سدیم در شاخصاره Na^+ in shoot	یون پتاسیم در شاخصاره K^+ in shoot	نسبت یون سدیم به پتاسیم در شاخصاره Na^+/K^+ in shoot	یون سدیم در ریشه Na^+ in root	یون پتاسیم در ریشه K^+ in root	نسبت یون سدیم به پتاسیم در ریشه Na^+/K^+ in root
تکرار Block	2	0.0211	0.0236	0.0057*	0.0019	0.0004	0.0097
تنفس شوری Salt stress	3	2.7989**	0.9549**	0.6924**	1.8541**	0.0853**	8.1879**
کایتوزان Chitosan	3	0.0089	0.0261*	0.0056**	0.0057*	0.0022**	0.0351*
تنفس شوری × کایتوزان Salt × Chitosan	9	0.0139*	0.0125	0.0049**	0.0011	0.0006	0.0078
خطا Error	30	0.0051	0.0072	0.0011	0.0019	0.0005	0.008
ضریب تغییرات CV (%)	-	3.70	2.99	4.83	8.48	3.59	10.03

* و **: معنی‌داری در سطح احتمال پنج درصد و یک درصد

*and **: Significant at 5% and 1% probability levels.



شکل ۳- بر همکنش تأثیر تنش شوری و کاربرد نانو کایتوزان بر صفت سدیم شاخساره در گیاه خارمریم

اعداد با حروف متقاوت در هر ستون دارای اختلاف معنی دار در سطح احتمال پنج درصد بر اساس آزمون LSD می باشند.

Figure 3- Interaction of salinity stress and chitosan application on sodium in root in milk thistle

Different letters indicate significant difference at $p \leq 0.05$ based on LSD test.

بیوشیمیابی می شود و می تواند به عنوان یکی از دلایل اصلی سمیت شوری مطرح گردد (Shabala *et al.*, 2006) (Mahdavi and Safari 2015) در بررسی اثر کایتوزان بر رشد و برخی ویژگی های فیزیولوژیک نخود در شرایط تنش شوری گزارش کردند که با افزایش تنش شوری از غلظت پتابسیم ساقه و ریشه کاسته شد، به گونه ای که بیشترین درصد متعلق به تیمار بدون تنش و کمترین آن به سطح شوری ۸ دسی زیمنس بر متر بود. ایشان گزارش کردند که کاربرد نانو کایتوزان میزان پتابسیم را در ریشه گیاهان تیمار شده نسبت به گیاهان شاهد افزایش، ولی میزان سدیم ریشه را کاهش داد.

نسبت سدیم به پتابسیم در شاخساره

تنش شوری، کاربرد کایتوزان و اثر متقابل این دو عامل اثر معنی داری در سطح احتمال یک درصد روی نسبت سدیم به پتابسیم شاخساره داشت (جدول ۴). استفاده از کایتوزان در تیمار آبیاری شاهد (بدون شوری) و همچنین در سطوح پایین و متوسط تنش شوری (۴ و ۸ دسی زیمنس بر متر) نتوانست نسبت مقدار سدیم به پتابسیم شاخساره را شاهد (بدون استفاده از نانو کایتوزان) به طور معنی داری کاهش دهد، اما استفاده از این ماده در تنش شوری شدید (۱۲ دسی زیمنس بر متر) به خوبی توانست نسبت سدیم به پتابسیم را نسبت به شاهد کاهش دهد و در این راستا کمترین نسبت سدیم به پتابسیم در تیمار ۰/۰۵ درصد کایتوزان حاصل شد. این امر به خوبی اثر کایتوزان را در تعديل اثر مخرب یون سدیم در تیمار مورد نظر را نشان می دهد.

مقدار پتابسیم در شاخساره

شوری در سطح احتمال یک درصد اثر معنی داری روی صفت پتابسیم شاخساره داشت (جدول ۴). با افزایش تنش شوری مقدار پتابسیم در شاخساره به طور معنی داری از یک روند کاهشی پیروی نمود به طوری که کمترین مقدار پتابسیم (۲/۵۵ میلی گرم بر گرم) در تیمار ۱۲ دسی زیمنس بر متر مشاهده شد که کاهشی معادل ۱۹/۳ درصد را نسبت به تیمار شاهد نشان داد. کاربرد کایتوزان اثر معنی داری در سطح احتمال پنج درصد روی پتابسیم شاخساره داشت (جدول ۴). به طور کلی کاربرد کایتوزان (در سطوح مختلف)، مقدار پتابسیم در شاخساره را نسبت به شاهد (عدم استفاده از کایتوزان) افزایش داد. بالاترین مقدار این عنصر در شاخساره با کاربرد حداقل کایتوزان مصرفی (۰/۰۱ درصد) و به مقدار ۲/۸۹ میلی گرم بر گرم حاصل شد (جدول ۵). این پدیده مبین اثرات مثبت مصرف نانو کایتوزان در افزایش نسبی یون پتابسیم در شاخساره می باشد که نقش مؤثری را در تعديل اثرات منفی شوری (به خصوص یون سدیم) از طریق کاهش نسبت سدیم به پتابسیم ایفا نماید.

به نظر می رسد کاربرد کایتوزان در گیاهان تنش دیده با افزایش غلظت پتابسیم در ساقه سبب پاسخ مناسب این گیاهان در رویابویی با تنش شوری شده است (Mahdavi and Safari, 2015). غلظت پایین سدیم و بالای پتابسیم در سیتوپلاسم برای حفظ فرآیندهای آنزیمی در سیتوپلاسم، لازم و ضروری است (James *et al.*, 2006). هنگامی که گیاهان در معرض تنش شوری قرار می گیرند سدیم زیادی را جذب می کنند که به تبع آن از جذب پتابسیم جلوگیری به عمل می آید (Munns, 2003). کاهش پتابسیم در شرایط تنش شوری سبب خسارت به سلول ها هم از نظر فیزیولوژی و هم

جدول ۵- مقایسه میانگین صفات یونی خارمیریم تحت تأثیر تنفس شوری و نانو کایتوزان

Table 5- Mean comparisons of ionic traits of milk thistle as affected by salt stress and Chitosan

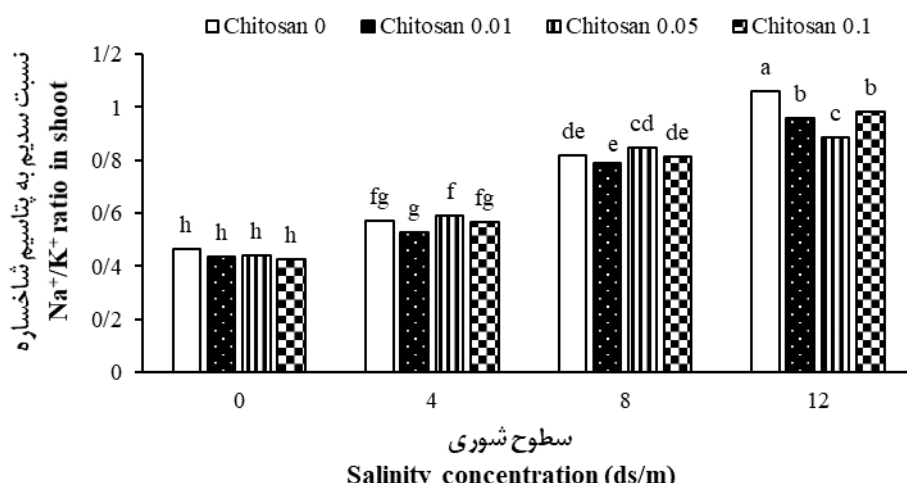
تیمارها Treatments	یون پتاسیم در شاخصاره K^+ in shoot (mg g^{-1})	یون سدیم در ریشه Na^+ in root (mg g^{-1})	یون پتاسیم در ریشه K^+ in root (mg g^{-1})	نسبت یون سدیم به پتاسیم در ریشه Na^+/K^+ in root
تش شوری Salt stress				
0 dS m^{-1}	3.156	0.201	0.686	0.294
4 dS m^{-1}	2.974	0.238	0.670	0.355
8 dS m^{-1}	2.652	0.547	0.575	0.954
12 dS m^{-1}	2.547	1.051	0.507	2.075
کایتوزان Chitosan				
0 control	2.771	0.537	0.595	0.994
0.01 %	2.885	0.502	0.602	0.916
0.05 %	2.843	0.484	0.625	0.865
0.1 %	2.829	0.512	0.616	0.903
LSD	0.070	0.036	0.018	0.077

اعداد با حروف متفاوت در هر ستون دارای اختلاف معنی‌دار در سطح احتمال پنج درصد بر اساس آزمون LSD می‌باشند.

Different letters indicate significant difference at $p \leq 0.05$ based on LSD test.

صرف کایتوزان اثر معنی‌داری بر میزان سدیم ریشه نداشت. تجمع یون سدیم تغییراتی را در تعادل یونی ایجاد نماید که این عدم تعادل یونی سبب کاهش یا ممانعت از رشد گیاه می‌گردد (Mer *et al.*, 2000). به نظر می‌رسد استفاده از نانو کایتوزان با کاهش میزان سدیم در ساقه، توانسته گیاه را در تحمل به تنفس شوری یاری رساند.

Mahdavi and Safari (2015) در بررسی اثر کایتوزان بر رشد و بخش ویژگی‌های فیزیولوژیک نخود در شرایط تنفس شوری گزارش کردند که در شرایط بدون تنفس، پیش‌تیمار بذرها با کایتوزان سبب کاهش میزان سدیم ساقه نسبت به شاهد شد. همچنین در شرایط تنفس شوری، تیمار کایتوزان سدیم ساقه را نسبت به شاهد کاهش داد.



شکل ۴- بر همکنش تأثیر تنفس شوری و کاربرد نانو کایتوزان بر صفت نسبت سدیم به پتاسیم شاخصاره در گیاه خارمیریم

اعداد با حروف متفاوت در هر ستون دارای اختلاف معنی‌دار در سطح احتمال پنج درصد بر اساس آزمون LSD می‌باشند.

Figure 4- Interaction of salinity stress and chitosan application on Na^+/K^+ in root in milk thistle

Different letters indicate significant difference at $p \leq 0.05$ based on LSD test.

در سطح متوسط و شدید شوری (۸ و ۱۲ دسی‌زیمنس بر متر) نسبت به شاهد با شدت بیشتری افزایش یافت. مقدار این افزایش در بالاترین سطح تنفس شوری (۱۲ دسی‌زیمنس بر متر) به ۱/۰۵ میلی‌گرم بر گرم رسید که نسبت به شاهد بدون شوری غلظتی معادل

مقدار سدیم در ریشه تنفس شوری اثر معنی‌داری در سطح احتمال یک درصد روی مقدار سدیم ریشه داشت (جدول ۴). روی مقدار یون سدیم در ریشه

تش شوری در سطح احتمال یک درصد توانست اثر معنی‌داری روی نسبت سدیم به پتانسیم در ریشه داشته باشد (جدول ۴). با افزایش تنش شوری نسبت سدیم به پتانسیم در ریشه افزایش یافت و بیشترین نسبت آن ($2/0\cdot75$) در تیمار ۱۲ دسی‌ریمنس بر متر مشاهده شد (جدول ۵). اما کاربرد کایتوزان اثر معنی‌داری در سطح احتمال پنج درصد روی نسبت سدیم به پتانسیم در ریشه داشت (جدول ۴) و منجر به کاهش این نسبت گردید، به طوری که کمترین نسبت، همچون کایتوزان به دست آمد (جدول ۵). همچون نتایج به دست آمده در مورد کایتوزان در شاخساره، نتایج به دست آمده در مورد این نسبت در ریشه نیز مبنی تأثیر مطلوب کاربرد کایتوزان در تعديل اثر مخرب یون سدیم در تیمار مورد نظر می‌باشد.

نتیجه‌گیری

نتایج آزمایش خاکی از تأثیر منفی تنش شوری بر صفات رویشی، فیزیولوژیک و یونی مطالعه شده در گیاه خارمیریم می‌باشد. کاربرد نانوکایتوزان با غلظت $0/0\cdot5$ درصد در مورد صفات زیست‌توده کل، شاخص سطح برگ، محتوای رطوبت نسبی و شاخص پایداری غشا II سلولی و در غلظت $0/0\cdot1$ درصد در مورد صفت کارآئی فتوسیستم موفق‌تر ظاهر شد. استفاده از نانوکایتوزان با غلظت $0/0\cdot1$ درصد منجر به کاهش یون سدیم و افزایش غلظت پتانسیم در شاخساره و متعاقباً کاهش نسبت سدیم به پتانسیم در شاخساره شد. با توجه به نتایج آزمایش می‌توان کاربرد کایتوزان با غلظت $0/0\cdot1$ درصد را به عنوان یک تعديل‌کننده تنش شوری در کشت گیاه خارمیریم معرفی نمود.

۵ برابر را نشان می‌دهد. وقوع این پدیده میان اثرات تخریبی شدید یون سدیم در این سطح از تیمار شوری می‌باشد. کاربرد کایتوزان در سطح احتمال پنج درصد اثر معنی‌داری بر مقدار سدیم ریشه داشت (جدول ۴). کاربرد کایتوزان با غلظت $0/0\cdot5$ درصد کمترین مقدار سدیم ریشه ($4/84$ میلی گرم بر گرم) را کسب کرد. بنابراین کاربرد کایتوزان در کاهش یون مخرب سدیم در محیط ریشه مؤثر می‌باشد. این موضوع می‌تواند به تحمل تنش شوری در محیط ریشه کمک نماید.

مقدار پتانسیم در ریشه

اثر اصلی تنش شوری و کاربرد کایتوزان در سطح احتمال یک درصد روی مقادیر پتانسیم ریشه معنی‌دار بودند (جدول ۴). روند تغییرات مقدار پتانسیم در ریشه نیز با افزایش شوری یک واکنش منفی را نشان می‌دهد، به طوری که کمترین مقادیر پتانسیم در ریشه ($5/07$ میلی گرم بر گرم) در تیمار ۱۲ دسی‌ریمنس بر متر مشاهده شد. با افزایش کایتوزان به طور کلی مقادیر یون پتانسیم در ریشه از یک روند افزایشی پیروی نمود اما در سطح $0/0\cdot5$ درصد کایتوزان به بیشترین مقدار خود ($6/25$ میلی گرم بر گرم) رسید. به نظر می‌رسد کاربرد کایتوزان محتوی این عنصر را در اندازه‌های گیاه تغییر داد. به طوری که کاربرد کایتوزان موجب افزایش مقادیر پتانسیم ساقه نسبت به شاهد شد. گزارش شده است که کاربرد کایتوزان به طور معنی‌داری میزان پتانسیم را در گیاهان افزایش می‌دهد (Dzung et al., 2011) که با نتایج این بررسی مطابقت دارد.

نسبت سدیم به پتانسیم در ریشه

References

1. Aghighi Shahverdi, M., Omidi, H., and Mousavi, S. E. 2017. Effect of chitosan on seed germination and biochemical traits of Milk Thistle (*Silybum marianum* L.) seedling under salt stress. International Journal of Seed Research 3 (2): 105-118.
2. Amiri, A., Sirousmehr, A., and Esmaeilzadeh Bahabadi, S. 2016. Effect of foliar application of salicylic acid and chitosan on yield of Safflower (*Carthamus tinctorius* L.). Iranian journal of biology 28 (4): 712-725. (in Persian with English abstract).
3. Bittelli, M., Flury, M., Campbell, G. S., and Nichols, E. G. 2001. Reduction of transpiration through foliar application of chitosan. Agricultural and Forest Meteorology 107: 167-175.
4. Dorais, M., Papadopoulos, A. P., and Gosselin, A. 2001. Influence of electrical conductivity management on greenhouse tomato yield and fruit quality. Agronomy journal 91: 367-383.
5. Dzung, N. A., Khanh, V. T. P., and Dung, T. T. 2011. Research on impact of chitosan oligomer on biophysical characteristics, growth, development and drought resistance of coffee. Carbohydrate Polymers 84: 751-755.
6. Geilfus, C. M., Zorb, C., and Muhling, H. K. 2010. Salt stress differentially affects growth-mediating bexpansins in resistant and sensitive maize (*Zea mays* L.). Plant Physiology and Biochemistry 48: 993-998.
7. Ghavami, N., Naghdly, H. A. Ramin, A. A., and Mehrafarin, A. 2011. Effect of salinity on seed yield and oil mike thistle. Journal of Medicine 2: 89-93. (in Persian with English abstract).
8. Gornik, K., Grzesik, M., and Duda, B. R. 2008. The Effect of chitosan on rooting of grapevine cuttings and on subsequent plant growth under drought and temperature stress. Journal of Fruit and Ornamental Plant Research 16: 333-343.
9. Guan, Y. J., Hu, J., Wang, X. J., and Shao, C. X. 2009. Seed priming with chitosan improves maize stress

- germination and seedling growth in relation to physiology changes under low temperature. *Journal of Zhejiang University- Science* 10: 427-433.
10. Hadrami, A. E., Adam, L. R., Hadrami, I. E., and Daayf, F. 2010. Chitosan in plant protection. *Marine Drugs* 8 (4): 968-987.
 11. Jabeen, N., and Ahmad, R. 2013. The activity of antioxidant enzymes in response to salt stress in safflower (*Carthamus tinctorius* L.) and sunflower (*Helianthus annuus* L.) seedlings raised from seed treated with chitosan. *Journal of Science Food Agriculture* 93 (7): 1699-1705.
 12. James, R. A., Munns, R., Caemmerer, S., Trejo, C., Miller, C., and Condou, T. 2006. Photosynthetic capacity is related to the cellular and subcellular partitioning of Na^+ , K^+ and Cl^- barley and durum wheat. *Plant Cell and Environment* 29: 2185-2197.
 13. Kalra, Y. P. 1998. Reference Methods for Plant Analysis. *Soil and Plant Analysis*. Boca Raton Boston London. Washington D.C. New York.
 14. Khan, M. Z., Blackshaw, R. E., and Marwat, K. B. 2009. Biology of milk thistle (*Silybum marianum*) and the management options for growers in north-western Pakistan. *Weed Biology Management* 9: 99-105.
 15. Klute, A. 1986. Methods of soil Analysis: Physical and mineralogical methods. PP 635-662 in A. Klute, A. E. Lee eds. American Society of Agronomy., Wisconsin.
 16. Koca, M., Bor, M., Ozdemir, F., and Turkcan, I. 2007. The effect of salt stress on lipid peroxidation, antioxidative enzymes and proline content of sesame cultivars. *Environmental and Experimental Botany* 60: 344-351.
 17. Krause, G. H., and Weis, E. 1991. Chlorophyll fluorescence and photosynthesis: the basics. *Annual Review of Plant Physiology and Plant Molecular Biology* 42: 313-349.
 18. Mahdavi, B., and Safari, H. 2015. Effect of chitosan on growth and some physiological traits of chickpea under salinity stress. *Plant Process and Function* 4 (12): 117-127.
 19. Mahdavi, B., ModarresSanavy, S. A. M., Aghaalikhani, M., and Sharifi, M. 2013. Effect of water stress and chitosan on Germination and proline of seedling in safflower (*Carthamus tinctorius* L.). *Journal of Crop Improvement* 25: 728-741.
 20. Masomy Zvaryan, A., Yosefi Rad, M., and Moghadas, M. S. 2013. Effect of salt stress on germination indices and alpha-amylase and peroxidase enzyme activity of medicinal plants mike thistle (*Silybum marianum*). National Congress and Conventional Farming. Ardabil. (In Persian).
 21. Mer, R. K., Prajith, P. K., Pandya, D. H., and Pandey, A. N. 2000. Effect of salts on germination of seeds and growth of young plants of *Hordeum vulgare*, *Triticum aestivum*, *Cicer arietinum* and *Brassica juncea*. *Journal of Agronomy and Crop Science* 185: 209-217.
 22. Merah, O. 2001. Potential importance of water status traits for durum wheat improvement under Mediterranean conditions. *Journal of Agricultural Science* 137: 139-145.
 23. Miyashita, K., Tanakamaru, S., Maitani, T., and Kimura, K. 2005. Recovery responses of photosynthesis, transpiration and stomata conductance in kidney bean following drought stress. *Environmental and Experimental Botany* 53: 205-214.
 24. Mondal, M. M. A., Malek, M. A., Puteh, A. B., Ismail, M. R., Ashrafuzzaman, M., and Naher, L. 2012. Effect of foliar application of chitosan on growth and yield in okra. *Australian Journal of Crop Sciences* 6 (5): 918-921.
 25. Munns, R. 2003. Comparative physiology of salt and water stress. *Plant Cell Environment* 25: 239-250.
 26. Ohta, K., Asao, T., and Hosoki, T. 2001. Effects of chitosan treatments on seedling growth, chitinase activity and ower quality in *Eustoma grandiflorum* (Raf.) Shinn. *The Journal of Horticultural Science and Biotechnology* 76 (5): 612-614.
 27. Ohta, K., Morishita, S., Suda, K., Kobayashi, N., and Hosoki, T. 2004. Effects of chitosan soil mixture treatment in the seedling stage on the growth and flowering of several ornamental plants. *Journal of the Japanese Society for Horticultural Science* 73 (1): 66-68.
 28. Parida, A. K., and Das, A. B. 2005. Salt tolerance and salinity effects on plants: a review. *Ecotoxicology and Environmental Safety* 60: 324-349.
 29. Poljakoff, M. A., and Lerner, H. R. 1994. Plants in saline environment. PP. 65-96. In: Pessarakli, M. (Ed.), *Handbook of Plant and Crop Stress*, Marcel Dekker, Inc. New York.
 30. Pongprayoon, W., Roytrakul, S., Pichayangkura, R., Chadchawan, S. 2013. The role of hydrogen peroxide in chitosan-induced resistance to osmotic stress in rice (*Oryza sativa* L.). *Plant Growth Regulation* 70: 159-173.
 31. Rabea, E. I., Badawy, M. E. T., Stevens, C. V., Smagghe, G., and Steurbaut, W. 2003. Chitosan as antimicrobial agent: applications and mode of action. *Biomacromolecules* 4 (6): 1457-1465.
 32. Ramasamy, K., and Agarwal, R. 2008. Multi targeted therapy of cancer by silymarin. *Cancer Letter* 269 (2): 352-62.
 33. Rizza, F., Pagani, D., Stanca, A. M., and Cattivelli, L. 2001. Use of chlorophyll fluorescence to evaluate the cold acclimation and freezing tolerance of winter and spring oats. *Plant Breeding* 120: 389-396
 34. Ruan, S. L., and Xue, Q. Z. 2002. Effects of Chitosan Coating on Seed Germination and Salt Tolerance of Seedlings in Hybrid rice (*Oryza sativa* L.). *Acta Agronomica Sinica* Journal 28: 803-808.

35. Shabala, S., Demidchik, V., Shabala, L., Cuin, T. A., Smith, S. J., Miller, A. J., Davies, J. M., and Newman, I. A. 2006. Extracellular Ca ameliorates NaCl induced Kloss from Arabidopsis root and leaf cells by controlling plasma membrane K-permeable channels. *Plant Physiology* 141: 1653-1665.
36. Sheikha, S. A. K., and AL-Malki, F. M. 2009. Growth and Chlorophyll Responses of Bean Plants to the Chitosan Applications. *European Journal of Scientific Research* 50: 124-134.
37. Taghipour, Z., and Maghsuddi, J. 2015. Effect of different concentrations of chitosan on germination and wheat seedling growth (*Triticum aestivum*) under drought stress conditions. *Seed Research* 5 (16): 65-75.
38. Uthairatanakij, A., Texeira Da Silva, G. A., and Obsuwan, K. 2007. Chitosan for improving orchid production and quality. *Orchid Science and Biotechnology* 1 (1): 1-5.
39. Waheed, A., Hafiz, I. A. G., Qadir, G., Murtaza, T. M., and Ashraf, M. 2006. Effect of salinity on germination, growth, yield, ionic balance and solute composition of pigeon pea (*Cajanus cajan* L.). *Pakistan Journal of Botany* 38: 1103-1117
40. Wei, S., Zang, X. M., Xue, J. P., and Xiang G. 2007. Effect of chitosan on seeds germination and seedling physiological property of wheat. *Periodicals. Core Journals Biology Journal* 24 (2): 51-53.
41. Yazdani Buick, R., Rezvani Moghaddam, P., Khazaei, H. R., Ghorbany, R., and Astaray, A. 2010. Effects of drought and salinity stress on seed germination of mike thistle. *Iranian Journal of Field Crop Research* 8: 12-19. (in Persian).



Chitosan Nano-particles Application on Growth, Physiology and Mineral Element Contents of Milk thistle (*Silybum marianum*) under Salinity Stress Condition

S. Safikhan¹- K. Khoshbakht^{2*}- M. R. Chaichi³- A. Amini⁴- B. Motesharezadeh⁵

Received: 06-09-2017

Accepted: 10-03-2018

Introduction: Salinity stress is one of the most limiting factors in plant growth and physiological activities. To extend crop production in saline regions, application of plant promoting growth substances like Chitosan is necessary to modify the adverse effects of salinity. Milk thistle is an agro-medical plant that is familiar as a weed. However, Silymarin (which is produced by Milk thistle as a secondary metabolite) is one the most important material for treating such disease as; liver diseases, blood fat, diabetes, hepatitis, and cancer. Application of bio stimulants is one of the solutions for decreasing adverse effects of abiotic and biotic stresses on plants and increasing quality and quantity of plant yield production, so chitosan is a compound that induces defense mechanisms against stresses.

Materials and Methods: This experiment was conducted to evaluate the soil application of chitosan on vegetative, generative and physiological activities of Milk thistle in 2016. The experiment was conducted in Research Greenhouse of College of Agriculture the University of Tehran, Karaj, Iran. The experimental treatments were arranged as factorial based on a randomized complete block design (RCBD) with three replications. The first factor comprised of four saline irrigation water levels of control (Urban water with 1.2 dS m⁻¹), 4, 8 and 12 dS m⁻¹ and the second factor was application of different levels of Chitosan consisting of control (without chitosan application), 0.01, 0.05, and 0.1 percent of chitosan based on 1-kilogram dry soil weight in Rhizobags. Chitosan with high molecular weight was purchased from Sigma Aldrich. 12 seeds of Milk thistle were sown in each plastic pot (23×24 cm diameter and height) containing 8.0 kg of soil, at the depth of 2 cm. After 72 days planting, plants with a uniform growth were selected for experiments. At least three plants were randomly selected from each treatment. The plant root and shoot were cut at the base and weighed to determine the dry root and shoot weight. Samples were dried at 60°C for 48 hours, and their mean root and shoot dry weight were recorded for each treatment at each replicate. Also, Statistical calculations were done by SAS software, 9.1 version, and means were compared by Duncan multiple test with 5% probability.

Results and Discussion: The result showed salinity stress had significant effect on all of the growth, physiologic and ionic trait ($p \leq 0.01$). Mean comparisons in chitosan levels showed the maximum total biomass, leaf area meter, relative water content and membrane stability index were achieved with application of 0.05% nano chitosan. In 4 dS m⁻¹ saline water, the highest total dry mass was obtained at 0.01% of chitosan by increasing of 21.6% compared to control ($p \leq 0.01$). In all of the salinity levels, chitosan application increased the leaf area index in compared to control (without chitosan application). The maximum leaf area index (4.264) was achieved in 0.05% chitosan concentration under non saline condition. Under 12 dS m⁻¹ salinity, application 0.05% chitosan concentration decreased by 10.4% and 16.5% in sodium content and sodium potassium ration in

1- Ph.D. student in Agroecology, Department of Agroecology, Shahid Beheshti University, Environmental Sciences Research institute, Shahid Beheshti University, Evin, Tehran, Iran

2- Associated Professor of Environmental Science Research Institute (ESRI), Shahid Beheshti University, Evin, Tehran, Iran

3- Professor of Department of Crop Science, College of Agriculture, California State University, Pomona, USA

4- Associated Professor of Centre for Infrastructure Engineering, Western Sydney University, Penrith 2751, NSW, Australia

5- Associated Professor of Department of Soil Science and Engineering, College of Agriculture and Natural Resources, University of Tehran, Karaj, Iran

(*- Corresponding Author Email: kkhoshbakht@yahoo.com)

shoot, respectively. The mechanism of action of chitosan on growth is not clear. It was also found that chitosan may induce a signal to synthesize plant hormones such as gibberellins and enhance growth and development by some signaling pathway related to auxin biosynthesis. Chitosan stimulates vital processes of plants on every level of biological organization, from single cells and tissues, through physiological and biochemical processes, to changes on the molecular level related to the expression of genes. The result of the experiment demonstrated the adverse effect of salinity on growth, physiological activity, and nutrient content in Milk thistle. Application of chitosan at 0.05% (v/v) in soil could modify the adverse effect of salinity on total biomass, leaf area index, relative water content, and membrane stability index; however, 0.01% chitosan concentration was more effective on photosystem II efficiency.

Conclusions: Based on the result of this experiment, salinity stress has negative effects on growth, physiology and mineral element contents of Milk thistle. Application of 0.01% of chitosan could modify the adverse effects of irrigation water salinity on Milk thistle. Generally, application of chitosan could decrease Na^+ effects in the Milk thistle, so the rate of Na^+ in the shoot and root was decreased under high levels of salinity. The present study demonstrated that chitosan can be used as an ecofriendly compound to protect milk thistle plants as well as to enhance growth and biochemical parameters under saline water.

Keywords: Medicinal plant, Mineral elements, Relative Water Content, Saline water, Total biomass

